

ارزیابی عملکرد لرزه‌ای ساختمان‌های بتونی کوتاه مرتبه تحت اثر مقیاس‌بندی زمین‌لرزه‌های حوزه دور

هیلا بهاری^۱، علیرضا مرتضایی^{۲*}

- ۱- کارشناسی ارشد مهندسی زلزله، گروه مهندسی عمران، واحد سمنان، دانشگاه آزاد اسلامی، سمنان، ایران
۲- دانشیار، مرکز تحقیقات رئوتکنیک لرزه‌ای و بتون توانمند، گروه مهندسی عمران، واحد سمنان، دانشگاه آزاد اسلامی، سمنان، ایران
A.mortezaei@semnaniau.ac.ir

چکیده

امروزه یکی از موارد اجتناب‌ناپذیر طبیعی در سراسر کره‌ی خاکی خطر زلزله می‌باشد. با توجه به غیرقابل پیش‌بینی و اجتناب‌ناپذیر بودن این بلای طبیعی و پیشرفت شگرف علم و فناوری نیاز به طراحی و بررسی دقیق‌تر این حادثه بیش از پیش احساس می‌گردد. پس از مرحله‌ی بررسی و جمع‌آوری اطلاعات درباره‌ی این حادثه مرحله‌ی جدیدی به نام طراحی سازه پیش روی احساس می‌کنیم. طراحی به معنای آسیب ندیدن سازه نمی‌باشد بلکه خرایی سازه باید به گونه‌ای باشد که ضمن اتلاف نیروهای واردہ کمترین میزان خسارات جانی به ساکنین وارد گردد. در مقاله‌ی ارائه شده ارزیابی عملکرد لرزه‌ای ساختمان‌های بتونی کوتاه مرتبه تحت اثر مقیاس‌بندی زلزله‌های حوزه‌ی دور در ۴ آیین‌نامه بررسی شده است. ابتدا تحلیل استاتیکی خطی و سپس تحلیل دینامیکی تاریخچه زمانی غیرخطی با ۷ شتاب‌نگاشت دور از گسل در نرم افزار SAP ۲۰۰۰ انجام شده است. نمودار تغییرمکان نسبی ساختمان‌ها نیز ترسیم شده است. نتایج تحلیل نشان داد در ساختمان‌های کوتاه‌مرتبه (ساختمان‌های تا ۴ طبقه) برای استاندارد ۲۸۰۰ ایران و برایش چهارم، مقیاس‌بندی ضوابط سختگیرانه‌تری نسبت به سایر آیین‌نامه‌ها دارد.

کلمات کلیدی: مقیاس‌بندی، تحلیل تاریخچه زمانی غیرخطی، تغییر مکان نسبی، زلزله دور

۱. مقدمه

زلزله به دو صورت افقی و عمودی به سازه وارد می‌شود که سازه تحت اثر این زمین‌لرزه‌ها وارد مرحله غیرارتجاعی شده و رابطه بین نیروی برش پایه و تغییر مکان مرکز جرم بام از حالت خطی خارج می‌شود. اعضای سازه دراثر انرژی زلزله وارد محدوده غیرارتجاعی می‌شوند تا با تغییر شکل های خود بتوانند این انرژی را جذب کنند [۱].^۱ Shome و همکاران براساس پژوهش‌های انجام شده دریافتند که مقیاس‌بندی رکوردهای زمین‌لرزه با در نظر گرفتن شتاب طیفی هدف تا میرای ۵٪ که دارای بزرگ‌تر و فاصله یکسانی است برای تعیین پاسخ غیرخطی سازه سیار مؤثر خواهد بود.^۲ Baker & Cornell^۳ Baker & Cornell (IM) که شامل ۲ پارامتر شتاب طیفی و اپسیلون می‌شود را برای پیش‌بینی پاسخ سازه در پریود زلزله مشخص شده در نظر گرفتند. همچنین، Baker & Cornell طیفی به نام طیف متوسط شرطی را مطرح کردند. در نتیجه دریافتند که تحلیل طیفی زمین‌لرزه‌ها در مقایسه با طیف خطر لرزه‌ای یکنواخت برای محدوده وسیعی از زمان تناوب نتایج محافظه کارانه‌تری را ایجاد می‌کند زیرا: ۱) پریود کوتاه و بلند طیف مورد نظر توسط عوامل مختلفی بدست می‌آید. ۲) اثر پیوستگی در طیف موردنظر در پریودهای متفاوت در روند توسعه^۴ UHS (طیف خطر لرزه‌ای یکنواخت) تاثیری ندارد [۲]. در این پژوهش عملکرد ساختمان‌های کوتاه مرتبه (با تعداد طبقات^۵) و طول دهانه ۵ متر با سیستم قاب خمسی تحت ۷ رکورد دور از گسل در آینه‌های، ASCE ۷-۱۰^۶ و IBC ۲۰۰۶^۷ و استاندارد ۲۸۰۰^۸ مورد بررسی قرار گرفته است.

۲. معرفی بر پژوهش‌های پیشین

در سال ۱۹۸۰ سوگانو و فوجی موراژوی تعدادی از قاب‌های بتن مسلح بادبنای شده و همچنین قاب‌های مشابه مقاوم شده با میان‌قابهای بنایی و بتی، آزمایش‌هایی را انجام دادند. هدف از این بررسی‌ها تعیین میزان تأثیر هر یک از سیستم‌ها در افزایش مقاومت درون صفحه‌ای و شکل‌پذیری قاب‌ها تحت اثر زلزله بود [۳]. در سال ۱۹۹۰، گوئل و لی روی مقاوم سازی لرزه‌ای سازه‌های بتن مسلح به کمک سیستم بادبند فولادی مطالعه آزمایشگاهی انجام دادند. در این پژوهش روی مدلی از قاب بتن مسلح دو طبقه مقاوم شده با سیستم بادبند فولادی شکل‌پذیر، بار سیکلی اعمال شد. نتایج آزمایش‌ها نشان داد که قاب مقاوم شده از خود پایداری و نیز حلقه‌های هیسترزیس کاملی را نشان می‌دهد [۴].

در سال ۱۹۹۵ ناطق الهی بعد از بررسی چند روش مقاوم سازی، روش بادبند فولادی قاب بتی را به عنوان مناسب‌ترین روش تشخیص داده و خاطر نشان می‌کند که طبق نتایج تحلیل، تغییر مکان افقی در ساختمان بادبنای شده، کاهش می‌یابد [۵].

SHOME و همکاران روشی را پیشنهاد کردند که شامل دامنه مقیاس‌بندی رکوردهای زمین‌لرزه برای شتاب تعیین شده در مود اول دوره تناوب سازه می‌باشد. زمین‌لرزه‌هایی که مقیاس‌بندی شده‌اند برای همپایه کردن هر شتاب طیفی متوسط در دوره تناوب ۴، ۷۵ ثانیه بوده که شامل ۳۰ طیف متوسط از ۳۰ زوج زمین‌لرزه مقیاس‌بندی شده برای دوره باز گشت ۴۷۵ سال می‌شود. آنها دریافتند که پراگندگی در مقادیر شتاب‌های طیفی در دوره‌های تناوب کوتاه و متوسط، بزرگ‌تر از مقادیر شتاب‌های طیفی در دوره‌های تناوب بلند مدت می‌باشد [۶].

روش مقیاس‌بندی متوسط هندسی که توسط SOMERVIL و همکارانش انجام شده، افزایش زمان‌های زمین‌لرزه برای پروژه فولادی SAC بعد از زلزله نورتیج سال ۱۹۹۴ بوده است. این روش شامل دامنه مقیاس‌بندی زوج زمین‌لرزه‌ها با استفاده از یک عامل مقیاس‌بندی جدا به منظور کاهش خطاها جمع مربعت بین مقادیر طیف مورد نظر، میانگین هندسی (ریشه دوم معادله) و طیف عرضی (طیف قائم) می‌باشد [۷].

¹ Shome N, Cornell CA, Bazzurro P, Carballo J.

² Baker JW, Cornell CA.

³ Intensity Measure

⁴ Uniform Hazard Specturm

⁵ Sugano and fujimura



مرکز تحقیقات
راهن، مسکن و شهرسازی

یازدهمین کنفرانس ملی بن

۱۴، ۱۵، ۱۶ مهرماه ۱۳۹۸

مرکز تحقیقات راه، مسکن و شهرسازی



الجمعیت علمی بن، ایران



جمهوری اسلامی ایران

HASELTON و همکاران روش ساده‌سازی که به تحلیل گر اجازه می‌دهد تا از یک مجموعه زمین لرزه استفاده نماید را پیشنهاد کردند. انتخاب نوع زمین لرزه‌ها بدون درنظر گرفتن عوامل محاسبه طرفیت فروزیش ساختمان‌ها تحت اثر نیروهای نامتعادل با استفاده از آنالیز دینامیکی غیرخطی انجام شده و سپس این مقاومت با استفاده از عوامل سازگار که شامل اثر T_1 (T_1) می‌شود برای محل ساختمان و شدت خطر فروزیش، S_a (T_1) COL اصلاح شده است. در این فرضیات باید اثر T_1 در انتخاب رکورد های زمین لرزه در نظر گرفته شود [8].

JAYARAM و همکاران آنالیز دینامیکی را که شامل مقیاس‌بندی داده‌های ورودی زمین لرزه‌ها می‌شود برای طیف متوسط پاسخ ارائه کردند. در این روش از تغییرات شتاب طیفی صرف نظر می‌شود و فقط بخشی از پاسخ سازه را می‌توان به دست آورد. آنها محاسبات کارآمد و فرضیات ثابتی را در انتخاب و مقیاس‌بندی زمین لرزه‌ها پیشنهاد کردند که شتاب‌های طیفی دارای مقدار متوسط و واریانس یکسان بودند [9].

Fotopoulou and Pitilakis یک روش تحلیلی برای ارزیابی آسیب‌پذیری ساختمان‌های بتن مسلح تحت جابجایی‌های شبیث ناشی از زلزله پیشنهاد کردند. تابع شکنندگی به عنوان تابع شتاب حداکثر زمین (PGA) در رخدانهای سنگ و جابجایی دائمی زمین (PGD) در منطقه شبیث بر اساس تاثیر گذارترین پارامترها، یعنی شبیث و مصالح خاک، پیشنهاد شده است. در این مطالعات آسیب‌پذیری ساختمان‌ها تنها برای اثر جابجایی دائمی لرزه‌ای مورد بررسی قرار گرفته است. بنابراین، آسیب بالقوه سازه‌ای ناشی از تکان خوردن زمین (با در نظر گرفتن اثر توپوگرافی) به همراه آسیب‌های ترکیبی ناشی از لرزش زمین و جابجایی‌های لرزه‌ای شبیث، در ارزیابی آسیب‌پذیری ساختمان در نظر گرفته نشده است [10].

Assimakiet et al نقشه توپوگرافی، چینه شناسی، ناهمانی خاک، غیرخطی بودن مصالح و اندرکنش خاک و سازه در تشدید حرکت ورودی لرزه‌ای در نزدیکی تاج را با استفاده از شبیه‌سازی‌های اجزاء محدود الاستیک و دو بعدی غیرخطی با مکان مشخص بررسی کردند. با وجود اینکه آنها نقش بزرگی در این زمینه ایفا کردند، اما مدل ساده شده سازه‌ای به صورت یک محیط الاستیک خطی پیوسته از دانسته معادل کاهش یافته، تنها می‌تواند پدیده اندرکنش کینماتیکی را در نظر بگیرد در حالیکه اثرات اندرکنش اینترسی و آسیب بالقوه‌ی اعضای ساختمان در نظر گرفته نمی‌شود. اصلاح مشخصات حرکت زمین در مجاورت یک شبیث، ممکن است بر ارزیابی آسیب‌پذیری یک سازه‌ی معمولی قرار گرفته در کنار تاج شبیث با فرض اینکه منحنی‌های شکنندگی لرزه‌ای موجود از بهترین لایه‌بندی افقی خاک به دست آمده است، اثر بگذارد. این موضوع برای جوامع بسیاری در اروپا (ایتالیای مرکزی، اپروس در شمال غرب یونان) و همچنین بصورت جهانی با در نظر گرفتن مستندات موجود از رخدادهای لرزه‌ای مخبر مسئله‌ی مهمی می‌باشد به طوریکه ثابت شده ساختمان‌هایی که در بالای تپه‌ها یا تاج شبیث‌ها قرار دارند، آسیب بیشتری نسبت به ساختمان‌هایی که نزدیک دامنه قرار دارند، خواهند دید [10].

۳. مدل‌سازی و سازه‌های مورد بررسی

به منظور بررسی اثر مقیاس‌بندی زمین لرزه‌های حوزه دور بر روی ساختمان‌های بتن آرمه کوتاه مرتبه T_1 طبقه ابتدا تحلیل استاتیکی خطی و سپس تحلیل دینامیکی تاریخچه زمانی غیرخطی با ۷ شتاب‌نگاشت دور از گسل انجام شده است. مولفه‌های زلزله در هر دو جهت افقی و عمودی به سازه اعمال شده‌اند. (شکل ۲)

در این مقاله 4 ساختمان 4 طبقه با 5 دهانه به طول 5 متر در نظر گرفته شده است. طبق شکل 1 ارتفاع سازه‌ای طبقات $3/2$ متر و سیستم مقاوم سازه‌ای در برابر زلزله، قاب خمی با شکل پذیری متوسط می‌باشد. بار مرده وارد بر قاب‌ها 200 kg/m^2 و بار زنده وارد بر قاب‌ها 500 kg/m^2 است. مقاومت فشاری بتن $\text{LB} = 250 \text{ kg/cm}^2$ بوده و همچنین ضریب ارتجاعی بتن β براساس مبحث نهم [11] مقررات ملی ساختمان سال ۹۲ محاسبه و به سازه‌ها اعمال گردیده است. ضریب ترک خوردنگی طبق استاندارد 2800 ویرایش چهارم برای تیرها 0.35 و برای ستونها 0.7 برای قاب خمی در نظر گرفته شده است [12]. ضریب اهمیت ساختمان برابر 1 و ساختمان‌ها در منطقه با خطر لرزه‌خیزی خیلی زیاد قرار دارند. طبق استاندارد 2800 ویرایش چهارم اثر مولفه قائم برای این ساختمان‌ها باید منظور گردد.

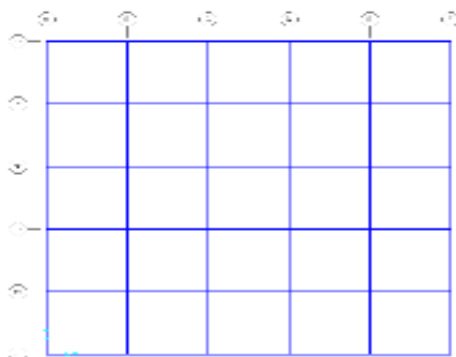
Accelerograms

Compressive strength of concrete

Modulus of elasticity of concrete

Fraction Index

همانطور که در جداول ۱ و ۲ و ۳ مشخص شده است، برای طراحی اسکلت پتنی از آیین نامه [13] ACI 318-14 استفاده شده است. طراحی به گونه‌ای صورت گرفته است که نسبت تنش‌ها در مقاطع بین ۰/۷ و ۱ بوده و نسبت دریفت طبقات براساس ضوابط آیین نامه کنترل شده است.



شکل ۱- پلان سازه مورد مطالعه

جدول ۱- مشخصات مکانیکی میلگرد

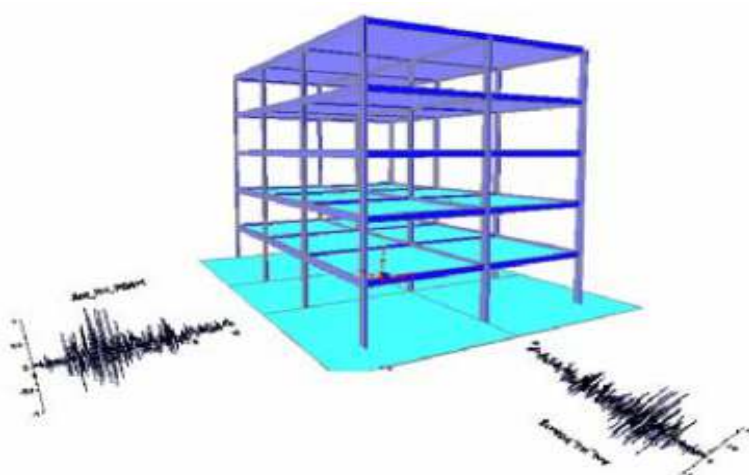
7850 kg/cm^3	وزن واحد حجم
$2 \times 10^3 \text{ kg/cm}^3$	ضریب ارجاعی
۱۵.۰	ضریب پواسون
4000 kg/cm^3	تنش تسلیم
6000 kg/cm^3	تنش نهایی

جدول ۲- مشخصات مکانیکی بتن

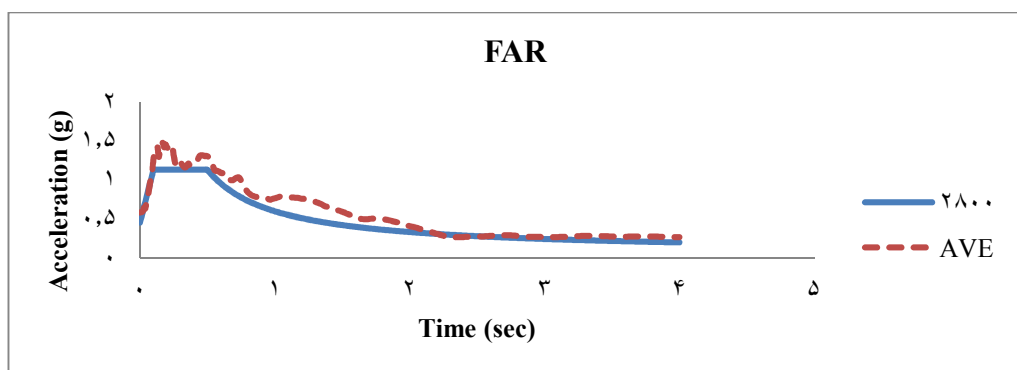
2500 kg/cm^3	وزن واحد حجم
$48.2 \times 10^4 \text{ kg/cm}^3$	ضریب ارجاعی
۱۵.۰	ضریب پواسون
250 kg/cm^3	مقاومت فشاری بتن

جدول ۳- ابعاد ستون و تیر در ساختمان های ۴ طبقه

قطعه تیر cm	قطعه ستون cm	طبقات
۶۵×۷۰	۶۵×۶۵	طبقه اول و دوم
۶۰×۶۵	۶۰×۶۰	طبقه سوم
۶۰×۵۵	۵۵×۵۵	طبقه چهارم



شکل ۲- تحلیل دینامیکی سازه تحت مؤلفه های رکوردهای زلزله



شکل ۳- نمودار طیف میانگین رکوردهای دور از گسل در استاندارد ۲۸۰۰



یازدهمین کنفرانس ملی بنی

۱۴، ۱۵، ۱۶ مهرماه ۱۳۹۸

مرکز تحقیقات راه، مسکن و شهرسازی



طبق شکل ۳ در نمودار طیف میانگین رکوردهای دور از گسل استاندارد ۲۸۰۰، ضریب مقایسه‌بندی برابر ۰/۶ است.

مشخصات رکوردهای زلزله انتخابی به صورت زیر می‌باشد:

- ۱) طبق جدول ۴ تمامی این رکوردها شامل ۷ زمین‌لرزه دور از گسل می‌باشند. فاصله محل ثبت شتاب نگاشت برای رکوردهای دور از گسل بیش از ۱۵ km است.

(۲) بیشترین شتاب زمین (PGA) تمام رکوردها برای حوزه دور بین ۰/۰۶۵ تا ۰/۳۵۷ می‌باشد.

(۳) خاک محل ثبت شتاب نگاشت‌ها مشابه با خاک محل احداث سازه‌ها از نوع خاک ۲ است.

(۴) تمامی رکوردهای زلزله انتخابی دارای بزرگای محلی بیشتر از ۶ می‌باشند.

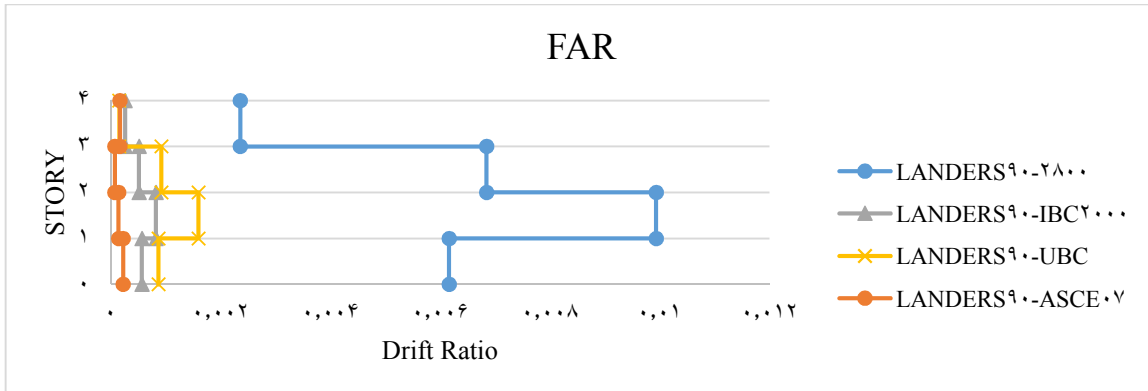
(۵) تمامی رکوردهای زلزله دارای سه مؤلفه (دو مؤلفه افقی و یک مؤلفه قائم) هستند.

جدول ۴- رکوردهای دور از گسل برای تحلیل ساختمان‌ها

Record	Station	Data	M _w	R _{rup} km	PGA(g)	PGV(cm/s)	PGD(cm)	T _D (sec)
LANDERS ۹۰	Barstow	1992	7.28	34.86	0.135g	25.042	17.47	39.96
LANDERS UP	Barstow	2010	7.28	34.86	0.065g	7.281	2.87	39.96
LANDERS ۳۶۰	Yermo Fire Station	1992	7.28	23.62	0.152g	29.090	23.147	43.96
CHI CHI N	TCU ۰۳۴	1999	7.62	35.68	0.105g	24.266	22.07	89.98
CAPE UP	Mendocino	1992	7.01	18.31	0.122g	17.095	8.68	28.6
DARFIELD S۱۰E	Lpcc	2010	7	25.67	0.357g	30.292	21.27	53.58
DARFIELD N۸۰E	Lpcc	2010	7	25.67	0.239g	17.701	3.81	53.6

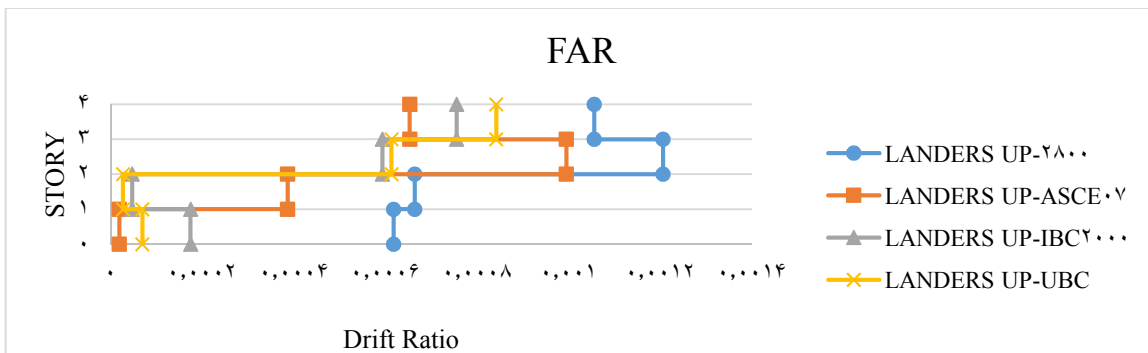
۴. تحلیل نتایج

نتایج تحلیل سازه‌ها تحت اثر رکوردهای دور از گسل در آینه نامه‌های [۱۴]، ASCE ۷-۱۰ [۱۵]، IBC ۲۰۰۶ [۱۶] و استاندارد UBC ۹۷ [۱۷] در شکل‌های ۴ تا ۱۰ آورده شده است.



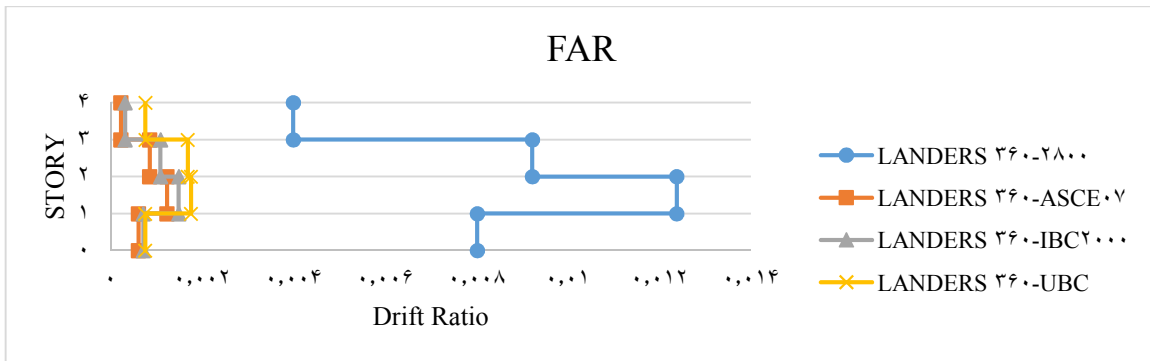
شکل ۴- مقایسه طیف‌های پاسخ رکورد دور از گسل LANDERS^{۹۰} در ساختمان ۴ طبقه براساس آییننامه‌های UBC^{۹۷}، IBC^{۲۰۰۶}، ASCE^{۰۷-۱۰} و استاندارد ۲۸۰۰

با توجه به شکل ۴ مشاهده می‌گردد حداکثر نسبت دریفت در استاندارد ۲۸۰۰ ایران ویرایش چهارم در طبقه دوم، در آییننامه ASCE ۰۷-۱۰، در طبقه اول، در آییننامه IBC ۲۰۰۶ در طبقه دوم و در آییننامه UBC ۹۷، در طبقه دوم رخ داده است به طوریکه نسبت دریفت در آییننامه ASCE ۰۷-۱۰ نسبت به استاندارد ۲۸۰۰ مقدار ۲۸۰۰٪ کاهش، در آییننامه IBC ۲۰۰۶ نسبت به ۲۸۰۰٪ کاهش و در آییننامه UBC ۹۷، مقدار ۸۳٪ کاهش و در آییننامه ASCE ۰۷ نسبت به استاندارد ۲۸۰۰٪ کاهش داشته است.



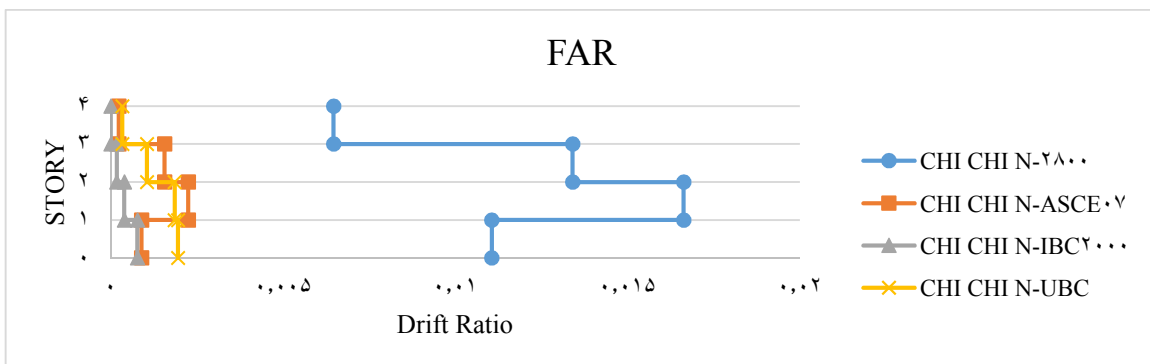
شکل ۵- مقایسه طیف‌های پاسخ رکورد دور از گسل LANDERS UP در ساختمان ۴ طبقه براساس آییننامه‌های UBC^{۹۷}، IBC^{۲۰۰۶}، ASCE^{۰۷-۱۰} و استاندارد ۲۸۰۰

با توجه به شکل ۵ مشاهده می‌گردد حداکثر نسبت دریفت در استاندارد ۲۸۰۰ ایران ویرایش چهارم در طبقه سوم، در آییننامه ASCE ۰۷-۱۰، در طبقه چهارم و در آییننامه UBC ۹۷، در طبقه چهارم رخ داده است به طوریکه نسبت دریفت در آییننامه ASCE ۰۷-۱۰ نسبت به استاندارد ۲۸۰۰ مقدار ۲۸۰۰٪ کاهش، در آییننامه IBC ۲۰۰۶ ۳۰٪ کاهش و در آییننامه UBC ۹۷، ۳۷/۵٪ کاهش داشته است.



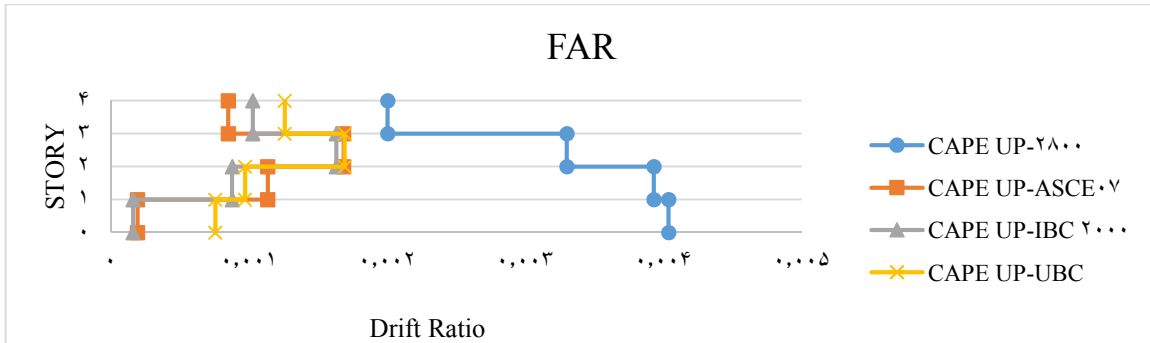
شکل ۶- مقایسه طیف‌های پاسخ رکورد دور از گسل LANDERS^{۳۶۰} در ساختمان ۴ طبقه براساس آینین‌نامه‌های ASCE^{۰۷-۱۰}، IBC^{۲۰۰۶}، UBC^{۹۷} و استاندارد ۲۸۰۰

با توجه به شکل ۶ مشاهده می‌گردد حداکثر نسبت دریفت در استاندارد ۲۸۰۰ ایران ویرایش چهارم در طبقه دوم، در آینین‌نامه ASCE^{۰۷-۱۰}، در طبقه دوم، در آینین‌نامه IBC^{۲۰۰۶} در طبقه دوم و در آینین‌نامه UBC^{۹۷}، در طبقه دوم رخ داده است به طوریکه نسبت دریفت در آینین‌نامه ASCE^{۰۷-۱۰} نسبت به استاندارد ۲۸۰۰ مقدار ۹۰٪ کاهش، در آینین‌نامه IBC^{۲۰۰۶}، ۸۸٪، در آینین‌نامه UBC^{۹۷}، ۸۶٪ نسبت به استاندارد ۲۸۰۰ کاهش داشته است.



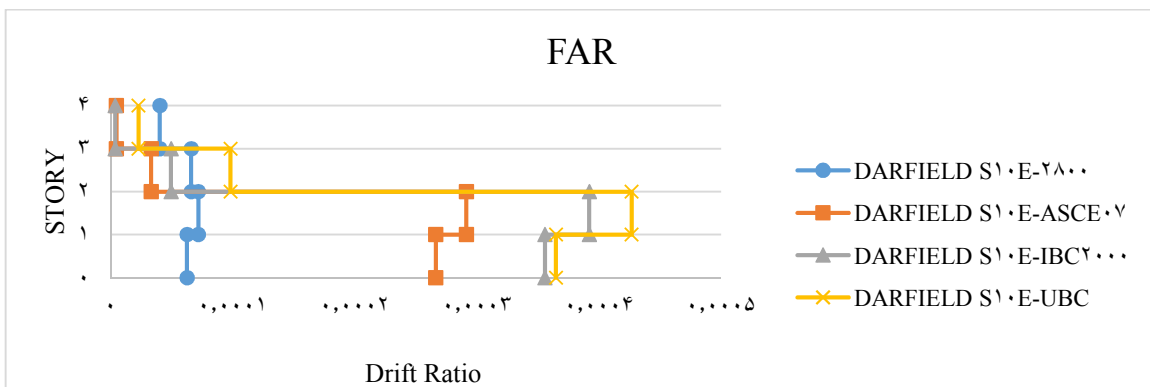
شکل ۷- مقایسه طیف‌های پاسخ رکورد دور از گسل CHI CHI N در ساختمان ۴ طبقه براساس آینین‌نامه‌های ASCE^{۰۷-۱۰}، IBC^{۲۰۰۶}، UBC^{۹۷} و استاندارد ۲۸۰۰

با توجه به شکل ۷ مشاهده می‌گردد حداکثر نسبت دریفت در استاندارد ۲۸۰۰ ایران ویرایش چهارم در طبقه دوم، در آینین‌نامه ASCE^{۰۷-۱۰}، در طبقه اول و در آینین‌نامه UBC^{۹۷}، در آینین‌نامه IBC^{۲۰۰۶} نسبت دریفت در آینین‌نامه ASCE^{۰۷-۱۰} نسبت به استاندارد ۲۸۰۰ مقدار ۸۶٪ کاهش، در آینین‌نامه IBC^{۲۰۰۶}، ۸۸٪، در آینین‌نامه UBC^{۹۷}، ۹۵٪ و در آینین‌نامه UBC^{۹۷}، ۸۶٪ نسبت به استاندارد ۲۸۰۰ کاهش داشته است.



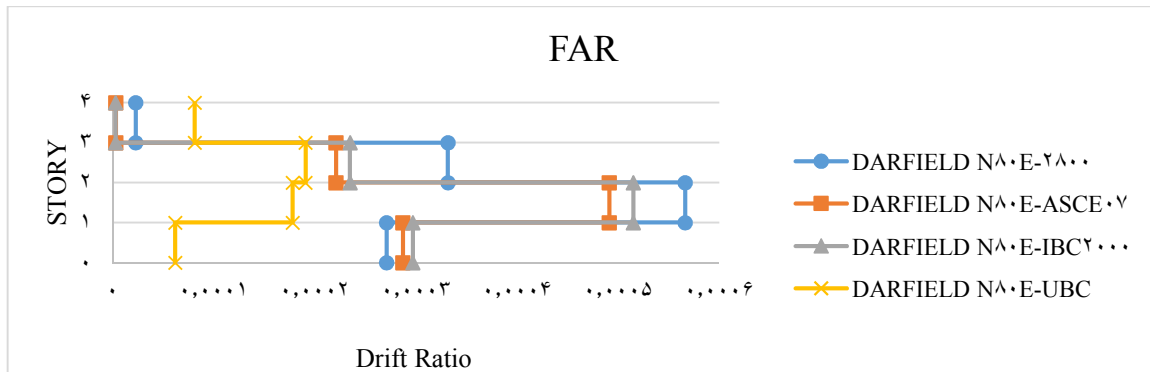
شکل ۸- مقایسه طیف‌های پاسخ رکورد دور از گسل CAPE UP در ساختمان ۴ طبقه براساس آیین نامه‌های ASCE ۰۷-۱۰، IBC۲۰۰۶، ASCE ۰۷-۱۰ و UBC۹۷ و استاندارد ۲۸۰۰

با توجه به شکل ۸ مشاهده می‌گردد حداکثر نسبت دریفت در استاندارد ۲۸۰۰ ایران ویرایش چهارم در طبقه اول، در آیین نامه ASCE ۰۷-۱۰ در طبقه سوم و در آیین نامه IBC۲۰۰۶ در طبقه سوم و در آیین نامه UBC۹۷، در طبقه سوم رخ داده است به طوریکه نسبت دریفت در آیین نامه ASCE ۰۷-۱۰ نسبت به استاندارد ۲۸۰۰ مقدار ۶۰٪ کاهش، در آیین نامه IBC۲۰۰۶ ۶۰٪ کاهش و در آیین نامه UBC۹۷ ۶۰٪ نسبت به استاندارد ۲۸۰۰ کاهش داشته است.



شکل ۹- مقایسه طیف‌های پاسخ رکورد دور از گسل DARFIELD S10-E در ساختمان ۴ طبقه براساس آیین نامه‌های ASCE ۰۷-۱۰، IBC۲۰۰۶ و UBC۹۷ و استاندارد ۲۸۰۰

با توجه به شکل ۹ مشاهده می‌گردد حداکثر نسبت دریفت در استاندارد ۲۸۰۰ ایران ویرایش چهارم در طبقه دوم، در آیین نامه ASCE ۰۷-۱۰ در آیین نامه IBC۲۰۰۶ در طبقه دوم و در آیین نامه UBC۹۷ در طبقه دوم رخ داده است به طوریکه نسبت دریفت در آیین نامه ASCE ۰۷-۱۰ نسبت به استاندارد ۲۸۰۰ مقدار ۷۵٪ افزایش، در آیین نامه IBC۲۰۰۶ ۸۱٪ افزایش و در آیین نامه UBC۹۷ ۸۳٪ افزایش داشته است.



شکل ۱۰- مقایسه طیف‌های پاسخ رکورددور از گسل DARFIELD N80-E در ساختمان ۴ طبقه براساس آین نامه‌های IBC۲۰۰۶، ASCE۰۷-۱۰ و استاندارد UBC۹۷

با توجه به شکل ۱۰ مشاهده می‌گردد حداکثر نسبت دریفت در استاندارد ۲۸۰۰ ایران ویرایش چهارم در طبقه دوم، در آین نامه ۰۷-۱۰، ASCE در آین نامه ۰۷-۱۰ در طبقه دوم و در آین نامه UBC۹۷، در طبقه سوم رخداده است به طوریکه نسبت دریفت در آین نامه ASCE۰۷-۱۰ نسبت به استاندارد ۲۸۰۰ مقدار ۱۲/۵٪ کاهش، در آین نامه ۰۷-۱۰ UBC۹۷، ۹٪ کاهش و در آین نامه ۰۷-۱۰ IBC۲۰۰۶، ۶۶٪ نسبت به استاندارد ۲۸۰۰ کاهش داشته است.

۵. نتیجه‌گیری

در ساختمان‌های کوتاه‌مرتبه (ساختمان‌های تا ۴ طبقه) برای استاندارد ۲۸۰۰ ایران ویرایش چهارم، مقیاس‌بندی ضوابط سختگیرانه‌تری نسبت به سایر آین نامه‌ها دارد. بنابراین برای ساختمان‌های کوتاه‌مرتبه، استاندارد ۲۸۰۰ ایران نیازمند ضوابط مقیاس‌بندی جداگانه‌ای می‌باشد. در واقع می‌توان بیان کرد مقیاس‌بندی رکوردهای زلزله با استفاده از استاندارد ۲۸۰۰ ایران ویرایش چهارم محافظه کارانه بوده و به آین نامه IBC۲۰۰۶ نزدیک‌تر است. در نتیجه آین نامه IBC۲۰۰۶ نیز نسبت به آین نامه‌های ASCE۰۷-۱۰ و UBC۹۷ محافظه کارانه‌تر عمل می‌کند. طبق نتایج تحلیل در ساختمان‌های ۴ طبقه، مفاصل تشکیل شده برای استاندارد ۲۸۰۰ ایران نسبت به آین نامه‌های UBC۹۷، IBC۲۰۰۶ و ASCE۰۷-۱۰ بحرانی‌تر می‌باشد. بنابراین، در ساختمان‌های کوتاه‌مرتبه (تا ۴ طبقه) مقیاس‌بندی رکوردها با ضوابط استاندارد ۲۸۰۰ ایران باعث تشکیل مفاصل پلاستیک در حالت بحرانی‌تر می‌شود.

۶. مراجع

- [۱] رجبی، ه. (۱۳۹۱). "پیان نامه کارشناسی ارشد، بررسی رفتار و آسیب‌پذیری ساختمان‌های فلزی با مهاربند شورون همگرا به همراه میراگر اصطکاکی پال براساس مقاومت انرژی".
- [۲] Samanta, A., Huang, Y. (۲۰۱۷). "Ground-motion Scaling for seismic Performance Assessment of high-rise moment-resisting frame building". ELSEVIER.

[۳] واقعی امیری، ج، تمجدی، ف. (۱۳۹۳). "ارزیابی عملکرد لرزه‌ای سازه‌های بتی با بکارگیری میراگر اصطکاکی". نشریه علمی پژوهشی عمران مدرس، شماره ۲، صفحه ۱۸۷-۱۸۸.

[۴] Goel, S., Lee, H., S.,(۱۹۹۰) "Seismic Strengthening of Structures by Ductile Steel Bracing System", Proceeding of Forth U.S. National Conference on Earthquake Engineering, Vol. ۳, California.

[۵] Nateghi, A., F. (۱۹۹۵) "Seismic Strengthening of ۸-Story RC Apartment Building Using Steel Braces", Engineering Structures, Vol. ۱۷, No. ۶, pp. ۴۵۵-۴۶۱.

[۶] Shome, N., Cornell, CA., Bazzurro, P., Carballo, J. (۱۹۹۸). "Earthquakes, Records, and nonlinear Response, Earthq Spectra." ۱۴(۳), ۴۶۹-۵۰۰.

[۷] Somerville P, Smith N, Punyamurthula S, Sun J. (۱۹۹۷). "Development of ground motion time histories for phase 2 of the FEMA/SAC steel project [Report SAC/BD-97/04] ". California: SAC Joint Venture: Sacramento.

[۸] Haselton CB, Baker JW, Liel AB, Deierlein GG. (۲۰۱۱). " Accounting for ground motion spectral shape characteristics in structural collapse assessment through an adjustment for Epsilon. J Struct Eng ASCE". ۱۳۷(۳), ۳۳۲-44.

[۹] Jayaram N, Lin T, Baker JW. (۲۰۱۱). "A computationally efficient ground-motion selection algorithm for matching a target response spectrum mean and variance. Earthq Spectra". ۲۷(۳), ۷۹۷-۸۱۵.

[۱۰] Fotopoulos, S., Pitilakis, K. (۲۰۱۶). "Vulnerability assessment of reinforced concrete buildings at precarious slopes subjected to combined ground shaking and earthquake induced landslide" ELSEVIER.

[۱۱] (۱۳۹۲). "بحث نهم مقررات ملی ساختمان ایران، طرح و اجرای ساختمان‌های بتن‌آرم ویرایش ۴": دفتر امور مقررات ملی ساختمان.

[۱۲] (۱۳۹۵). "آین‌نامه طراحی ساختمان‌ها در برابر زلزله، استاندارد ۲۸۰۰، ویرایش ۴": مرکز تحقیقات راه، مسکن و شهرسازی.

[۱۳] ACI -۳۱۸-۲۰۱۴. (۲۰۱۴). "Building Code Reinforcement for Structural Concrete, American Concrete Institute".

[۱۴] American Society of Civil Engineers, Minimum Design Loads for Buildings and Other Structures, ۲۰۱۰

[۱۵] International Building Code ۲۰۰۶

[۱۶] Uniform Building Code ۹۷